

УЧЕБНАЯ МАСТЕРСКАЯ

ФИЗИКА КОМПЬЮТЕРА

Гринишун Дмитрий Михайлович,
Новиков Василий Викторович

ВИРТУАЛЬНЫЙ ЛАБОРАТОРНЫЙ КОМПЛЕКС ПО ФИЗИЧЕСКИМ ОСНОВАМ ЦИФРОВОЙ ЭЛЕКТРОНИКИ. ТРАНЗИСТОРНЫЙ КАСКАД С ОБЩЕЙ БАЗОЙ

Настоящая статья представляет вторую из шести виртуальных лабораторных моделей электронных устройств, предназначенных для изучения физических основ цифровой электроники – транзисторный каскад с общей базой (ОБ). Модель построена с применением одного нелинейного элемента – полупроводникового транзистора и может быть использована для демонстрации работы входного узла логических элементов транзисторно-транзисторной логики (ТТЛ).

На рис. 1 представлена схема устройства.

С целью обеспечения преемственности представляемых моделей и унификации всего комплекса задание параметров схемы (но-

минальных значений величин сопротивлений резисторов и коэффициента усиления транзистора) и значений входных воздействий осуществляется с применением тех же управляющих элементов, что и в ранее представленной модели транзисторного каскада с общим эмиттером (ОЭ); содержатся те же средства запуска и остановки; рабочие значения сигналов иллюстрируются движением «заряженных частиц», имитирующих протекающий ток в участках цепей, скорость перемещения которых пропорциональна величине токов; индицируются напряжения в узлах. В схеме применен тот же биполярный $n-p-n$ транзистор.

Для проведения экспериментов рекомендуется установить следующие параметры: $R_1 = 25 \text{ кОм}$, $R_2 = 0,5 \text{ кОм}$, $\beta = 80$. Напряжение электропитания $E = 5 \text{ В}$.

Целью проведения экспериментов является сопоставление работы каскадов с ОЭ и с ОБ и выявление различий с обоснованием их причин. Так, в отличие от схемы с ОЭ, в схеме с ОБ транзистор находится в состоянии отсечки при подаче входного напряжения $U_{ex} = (4,4-5,0) \text{ В}$, при этом U_{bblx} по-прежнему равно напряже-

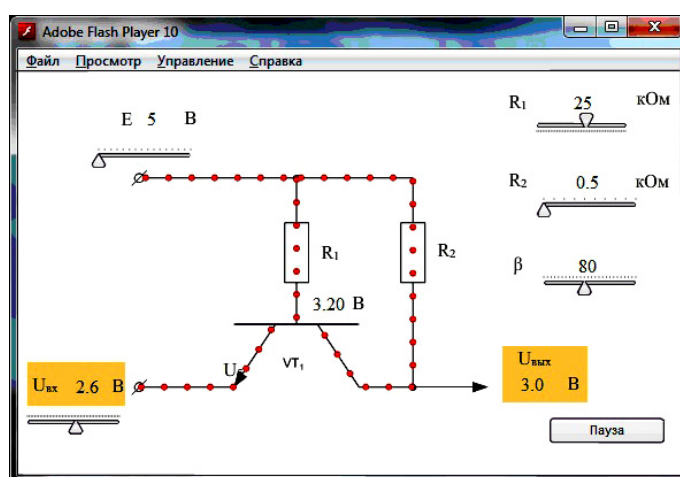


Рис. 1. Транзисторный каскад с общей базой

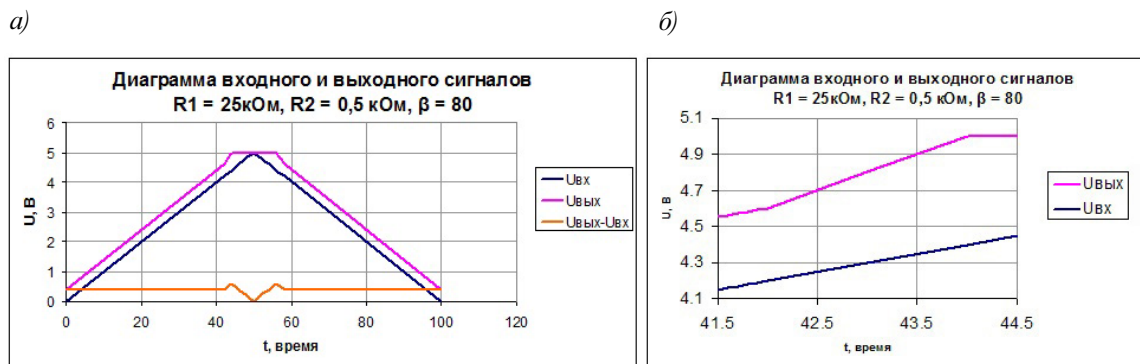


Рис. 2. Временная диаграмма входного и выходного сигналов

нию питания E . Транзистор «открывается», то есть выходит из состояния отсечки при переходе «вниз» границы $U_{ex} = 4,4$ В. При понижении U_{ex} до 4,2 В значения силы тока коллектора I_c и напряжения U_{byx} изменяются пропорционально значению силы тока базы $I_b = (U_{ex} - 0,6) / R_1$, что соответствует линейному режиму работы транзистора. Диапазон U_{ex} от 4,2 В до 0 В соответствует режиму насыщения транзистора, однако U_{byx} при этом не является постоянной величиной и определяется как $U_{ex} + 0,4$ В.

Как и при изучении каскада с ОЭ, рекомендуется «вручную» построить временные диаграммы входного и выходного сигналов, представленные на рис. 2 a , исходя из предположения, что U_{ex} изменяется с постоянным шагом во всем диапазоне (0–5) В и изменение значений осуществляется с равными промежутками времени. На рис. 2 b представлен участок той же диаграммы, на котором за счет масштабирования уменьшенного диапазона демонстрируется переход между режимами транзистора: линейный режим соответствует диапазону U_{ex} от 4,2 В до 4,4 В, режим насыщения – от 0 В до 4,2 В, режим отсечки – от 4,4 В до 5 В.

На полученной таким образом диаграмме можно выделить только одно устойчивое состояние выходного сигнала, соответствующее режиму отсечки транзистора, режим же насыщения, хоть и является нелинейным, устойчивое состояние сигнала не формирует и поэтому на графике не виден отчетливо. Для его выделения рекомендуется на том же рисунке построить график для разности

потенциалов коллектора и эмиттера. Этот эффект позволяет ввести понятие обратной отрицательной связи (ООС), обеспечивающей резистором R_1 .

Как и в схеме с общим эмиттером, изменением значений R_1, R_2, β в при одинаковой форме входного сигнала можно исследовать крутизну переходов цифрового сигнала, определяющую частотные (скоростные) характеристики устройства (примеры представлены на рис. 3).

Таким образом, представленная модель, как и модель схемы с ОЭ, позволяет продемонстрировать основные принципы работы цифровых электронных устройств и может быть использована как в качестве сопроводительного материала на лекционных занятиях соответствующих дисциплин, так и в качестве средства проведения лабораторных и практических работ.



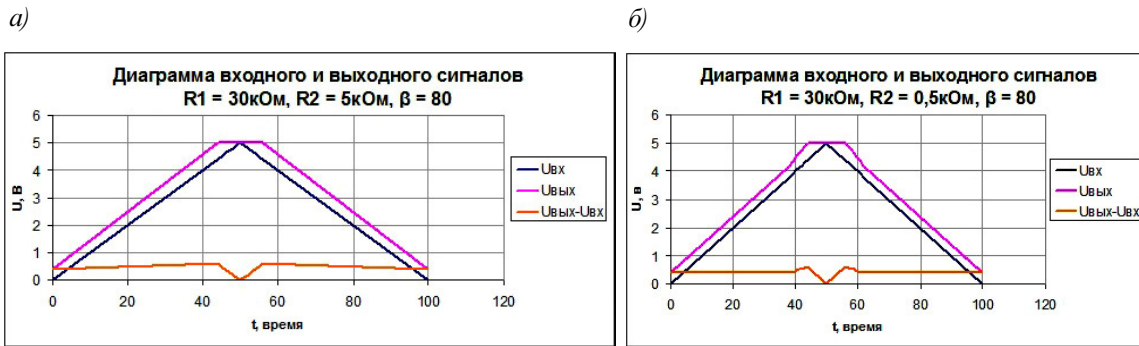


Рис. 3. Временные диаграммы входных и выходных сигналов

Планируется публикация остальных моделей комплекса.

Заинтересовавшихся читателей приглашаем к сотрудничеству по расширению номенклатуры виртуальных лабораторных мо-

делей, а также внедрению их в учебный процесс образовательных учреждений. Обращаться по электронной почте – Новиков Василий Викторович novikov.vz@gmail.com.